慶應義塾大学学術情報リポジトリ

Keio Associated Repository of Academic resouces

Title	Von Willebrand因子切断酵素(ADAMTS-13) の発現部位に関する検討		
Sub Title			
Author	鈴木, 美佐子(Suzuki, Misako)		
	池田, 康夫(Ikeda, Yasuo)		
Publisher	慶應医学会		
Publication year	2005		
Jtitle	慶應医学 (Journal of the Keio Medical Society). Vol.82, No.2 (2005. 6) ,p.T81- T94		
JaLC DOI			
Abstract			
Notes	学位論文		
Genre	Journal Article		
URL	https://koara.lib.keio.ac.jp/xoonips/modules/xoonips/detail.php?koara_id=AN00069296-20050601-0081		

慶應義塾大学学術情報リポジトリ(KOARA)に掲載されているコンテンツの著作権は、それぞれの著作者、学会または出版社/発行者に帰属し、その権利は著作権法によって 保護されています。引用にあたっては、著作権法を遵守してご利用ください。

The copyrights of content available on the KeiO Associated Repository of Academic resources (KOARA) belong to the respective authors, academic societies, or publishers/issuers, and these rights are protected by the Japanese Copyright Act. When quoting the content, please follow the Japanese copyright act.

学位論文

Von Willebrand 因子切断酵素(ADAMTS-13)の発現部位に関する検討

慶應義塾大学医学部内科学教室

(指導:池田康夫教授)

(平成 16 年 9 月 24 日受付)

Key Words: VWF-CP, ADAMTS-13, VWF, TTP, thrombosis

Von Willebrand 因子(以下 VWF と略す)は血液凝 固第 VIII 因子の安定化因子/キャリアーとして第 VIII 因子と複合体を形成し血中を循環しているほか細動脈等 で生じる高ずり応力のもとで血小板血栓形成の補因子と して機能する. すなわち, 血管内皮が損傷すると内皮下 に露呈したコラーゲンに血漿 VWF が結合し、VWF を 標的に血小板粘着・凝集反応がおきるという止血機構を 担っている。 VWF は血管内皮細胞や骨髄巨核球で産生 される巨大糖タンパクで、血漿中だけでなく血管内皮下 組織にも広く分布している. また循環している VWF の 15-25% は血小板のα顆粒中に貯蔵されている. VWF は生合成の過程で 741 残基という長いプレプロ 配列が切断され、成熟体として2050残基のアミノ酸か らなる分子量約25万のモノマーが、分子間ジスルフィ ド結合を介して N 末側と N 末側, C 末側と C 末側で互 い違いに重合したマルチマーを形成する. VWF 高分子 マルチマーは、血管内皮細胞内では、通常の"large" マルチマーよりさらに高分子量の"unusually large" マルチマーして存在し, 血流中へ放出されると速やかに 部分分解を受けて分子量 500~20,000 kDa の不連続に 分布するマルチマーパターンを示すことが知られている. この分解に働くのが VWF 切断酵素であり VWF の A2 ドメイン内に存在するペプチド結合 Y842-M843 を切 断する1),2).

血栓性血小板減少性紫斑病(thrombotic thrombocytopenic purpura;以下TTPと略す)は血小板減少,細血管障害性溶血性貧血,動揺性精神神経障害,腎機能障害,発熱の古典的5徴候を特徴とする全身性疾患である。近年の研究により、TTP患者血漿中には"unusually large" VWF マルチマーが存在してお

り,微小血管内で血小板凝集を惹起し,血小板血栓を心臓,脳,腎臓などの諸臓器に形成することが TTP の病態と考えられている.後天性 TTP では VWF 切断酵素に対する自己抗体が存在するためにその酵素活性が低下し^{3). 4},先天性 TTP では遺伝子変異による酵素活性の欠損⁵⁾が病因であることが明らかとなった.

1996年 Furlan¹⁾らや Tsai²⁾は VWF 切断酵素の活性 測定法を考案し、その部分精製を行い、ゲル濾過での溶 出位置や各種プロテアーゼインヒビターとの反応性ある いは活性発現時の 2 価金属イオン要求性などから、VWF 切断酵素は分子量約 150~300 kDa のメタロプロテアーゼであろうと報告した。2001年、複数の研究グループがヒト血漿からの VWF 切断酵素の精製に成功し、得られた N 末端アミノ酸配列の情報をもとに、その遺伝子解析から VWF 切断酵素が ADAMTS (a disintegrin and metalloproteinase with thrombospondin type 1 motif) ファミリーに属する新規な亜鉛型メタロプロテアーゼの1種、ADAMTS-13 であることが判明した $^{60.7}$.

一方、ADAMTS-13 の発現部位に関しては、ADAMTS-13 の部分 cDNA 配列が脳や前立腺で確認されており、RT-PCR による検討では卵巣、腎臓、膵臓、脾臓、胸腺、前立腺、精巣、小腸ならびに末梢白血球で弱い mRNA が検出されたと報告されている⁸⁾. しかし半定量的な PCR による解析の結果では骨髄でのADAMTS-13 の遺伝子発現はみられたものの末梢白血球での発現はみられなかったとされている¹⁰⁾. 現在までの報告では血小板での発現の有無に関する言及はない、VWF が血小板に結合するという現象は血小板血栓の形成のうえで必須のものであることをふまえると、血小板

における ADAMTS-13 の有無ならびにその機能は大変重要な論点である。前述のとおり VWF が血小板の α 顆粒中に存在するという事実も考慮し、我々は ADAMTS-13 が血小板で発現しているか否か、また血小板での局在に関する研究 11 をおこなった。

一方、全長 4.7 kb の mRNA は肝臓で特異的に発現していることから血漿の VWF 切断酵素は肝臓由来であろうと考えられているが^{6). 8). 9)}、現在まで肝臓でのADAMTS-13 の産生についての証明はされていない. Lee らは肝生検、剖検例で in situ hybridization を施行した結果から ADAMTS-13 が perisinusoidal cells で発現していると報告したが(学会発表)¹²⁾、肝臓における ADAMTS-13 の産生部位がどこであるかについての検討はされていない.肝硬変患者血漿での ADAMTS-13 酵素活性は健常血漿に比し低下しており、生体肝移植により血漿 ADAMTS-13 の酵素活性が変化したという臨床報告¹³⁾を考慮し、我々は ADAMTS-13 の肝細胞での発現の有無についての検討を行った.

実験方法

1. 血小板における VWF 切断酵素(ADAMTS-13) の発現と局在の検討

1)血液検体

研究に供したヒト血小板、白血球検体は健常者(既往歴、現症を有さない)の末梢血から分離した. これに先立ち研究内容についてインフォームドコンセントを取得した.

2) ウェスタンブロット法

3.8% クエン酸添加血を室温で 100×g 15 分間遠心分 離し platelet-rich plasma (PRP) を得た. 血小板凝集 防止のため、PRP に3分の2量相当の ACD-A 溶液 (クエン酸ナトリウム 2.2 w/v%, クエン酸 0.8 w/v%, ブドウ糖 2.2 w/v%, pH4.5-5.5, Terumo, Tokyo, Japan),プロスタグランジン E₁ (終濃度 1.2 μM) と EDTA (終濃度 1.2 μM) を加えた. この PRP から白 血球を除去する目的で、輸血用フィルター Sepacell PLX (Asahi Medical, Tokyo, Japan) を2回通過させ, 室温で 780×g, 7分間遠心分離を施行した. 得られた 血小板のペレットを ACD-A, プロスタグランジン E 存在下で N-2-hydroxyethylpiperazine-N'-2-ethanesul fonic acid (Hepes)-Tyrode's buffer で洗浄し, 浮遊さ せた. 洗浄血小板は5% 2-mercaptoethanolを含む Laemmli sample buffer に 1 : 1 の割合で混合し、 5-15% gradient gel を用い SDS 電気泳動を行った。こ

の際、約 2×10^7 個の血小板を1レーンにのせた。同時 にリコンビナント ADAMTS-13 を陽性コントロールと して用いた. 電気泳動後, polyvinylidene difluoride membrane (Bio-Rad, CA, USA) に転写し1%のスキム ミルクでブロッキングした。その後メンブレンをマウス 抗 ADAMTS-13 モノクローナル抗体(1 μg/ml, 化学 及血清療法研究所 副島見事先生より提供, exon 25 に相当する合成ペプチドを抗原として免疫)でインキュ ベートした。T-TBS 溶液で3回洗浄後,二次抗体とし T horseradish-peroxidase-conjugated sheep IgG against mouse Ig (Amersham Pharmacia Biotech, NJ, USA) を反応させた. その後 Western Lightening Chemiluminescence Reagent Plus (Perkin-Elmer, MA, USA) により発光させた. リコンビナント ADAMTS-13 & human fetal liver cDNA library (Biochain Institute Inc. CA, USA) を用いたオリゴヌ クレオチドの合成によって得られた DNA 断片をつなぎ 合わせ、VWF 切断酵素全長 cDNA を得、発現ベクター pcDNA 3.1/myc-His に導入, HEK293 細胞を使用し pcDNA3.1/VWF-CP/myc-His を導入し形質転換を行っ た (HEK293/ rADAMTS-13)¹⁴⁾.

3) フローサイトメトリーによる解析

PRP(4.8×108個血小板/ml)をマウス抗 ADAMTS-13 モノクローナル抗体 (1 μg/ml), 抗ヒト CD41 抗体 (5B12, 2.25 μg/ml, Dako Cytomation, Kyoto, Japan), 抗β-actin 抗体(AC15, 25 µg/ml, Sigma, MO, USA) または抗ヒト CD45 抗体 (T29/33, 3 μg/ml, Dako Cytomation)で1時間室温にて反応させた. 対照実験 として mouse IgG1 (1.125 µg/ml, Dako Cytomation) を1次抗体として使用した. permeabilization の目的 で 0.1% NP40 で前処理を行った。 permeabilization 処理した血小板は permeabilization 処理なしの血小板 と同条件下で1次抗体と反応させた. 1次抗体と反応後, すべての検体を4%%パラホルムアルデヒドで固定し, FITC-conjugated rabbit F (ab)'2 fragments of antimouse IgG antibody (10 µg/ml, Dako Cytomation) と室温で30分間反応させた、その後、プロスタグラン ジン E_i 添加 PBS(10 mM リン酸ナトリウム, 150 mM 塩化ナトリウム, pH7.4) で洗浄し, フローサイトメー ター(COULTER EPICS XL-MCL Flow-Cytometer; Beckman, FL,USA) で解析, データは System II software で解析した.

4) 免疫電顕法

ヒト正常洗浄血小板を4%パラホルムアルデヒド溶液で固定し、ショ糖に浸漬後、凍結、超薄切片を作製した.

これらの切片をマウス抗 ADAMTS-13 モノクローナル 抗体でインキュベートし、さらに金粒子標識ヤギ抗マウ ス二次抗体でインキュベート後、ウラン染色を行い透過 型電顕で観察した。

5)RT-PCR 法と塩基配列決定法

2) で記したと同様に Sepacell PLX を用いて PRP より白血球除去を行い、リアルタイム PCR にて CD20 が増幅されないことにより白血球の混入がないことを確 認した. 血小板のペレットは TRIZOL (Invitrogen, CA, USA) を用いて処理し、クロロホルムで溶解した血小板 のペレットから total RNA を抽出しイソプロパノール で沈降した.血小板 RNA(3 μg)は 70℃で 10 分間処 理後 TrueScript II Reverse Transcriptase kit (Sawady Technology, Tokyo, Japan) を使用し、特異 的オリゴヌクレオチドプライマーを用い 42℃で 65 分 間逆転写反応を行った. ADAMTS-13の exon 1-7に 対応する cDNA の増幅に用いたプライマーはセンスプ ライマーとして RT-1 (5'-ATGCACCAGCGTCACCCC CG-3'), アンチセンスプライマーとして RT-2 (5'-AAT GGTGACTCCCAGGTCGA-3') を用いた. PCR は TaKaRa LA Taq (Takara Shuzo, Shiga, Japan) を用 い, 5分間 96℃で反応後, 脱重合に 96℃で1分, プラ イマーの重合に 52℃で 1 分,伸長反応に 72℃で 1 分の 条件を用い、35 サイクルの反応を行った。PCR 産物を 2%アガロースゲル上で電気泳動し、エチジウムブロマ イド液で染色した。アガロースゲルよりバンドを切り出 し GENE CLEAN II kit (Bio 101, CA, USA) を用い DNA を抽出、精製した. 塩基配列は ABI PRISM Dye Terminator Cycle Sequencing Ready Reaction kit (Perkin-Elmer, Chiba, Japan) を用い, Model 310 DNA autosequencer (Applied Biosystems, CA, USA) で決定した.

6) リアルタイム PCR 法

5)に記したように RNA を単離し cDNA を合成したのち、ADAMTS-13 ならびに内部コントロールとしてβ-actin、また白血球の混入のモニターとして CD20 について各々 5'端に 6-carboxy fluorescein (FAM) ならびに 3'端に 6-carboxy-tetramethyl rhodamine (TAMRA) を標識した TaqMan Probe とプライマーペアーそして TaqMan Universal Master Mix を用いて、ABI Model 7700 Sequence Dettection System (Applied Biosystems) で増幅し測定した。まずフォワードプライマーとして 5'-CCCAACCTGACCAGTGTCT ACA-3' (exon 15)、リバースプライマーとして 5'-CTT CCCAGCCACGACATAGC-3' (exon 16)、およびその

間に 2つの蛍光色素を持った TaqMan probe として 5'-FAM-ACAGGCCTCTCTTCACACACTTGGCG-TAM RA-3' (exon 15-16) を重合させた.この 2 つの色素は TaqManProbe に結合している間は発光しないが, DNA ポリメラーゼ活性と 5'-3'ェキソヌクレアーゼ活性を有する Taq ポリメラーゼによりプライマーからの 伸長反応が生じ TaqMan Probe が分解されると, TaqMan Probe に結合していた蛍光色素が発光する.この蛍光を検出し, threshold fluorescence intensity に到達するサイクル数が threshold cycle (Ct) と定義される.各々の反応は脱重合に 95℃で 15 秒, プライマーの重合と伸長反応に 60℃で 1 分の条件を用い 40 サイクルの反応を施行した.実験は再現性を得るため三重に施行した.

- 2. 肝臓における ADAMTS-13 の産生部位に関する検 討
- 1)抗 ADAMTS-13 ポリクローナル抗体の作成

第 5 図 a. に示すように ADAMTS-13 の構造上、4 カ所の異なるペプチドに対し抗ペプチドポリクローナル 抗体を作製した、ペプチド A は propeptide(アミノ酸番号 42-55),B は cysteine-rich domain(アミノ酸番号 449-462),C は thrombospondin typeldomain(アミノ酸番号 712-724),D は CUB2 domain(アミノ酸番号 1312-1322)に相当する。各々の部位は他の ADAMTS タンパクとの相同性を回避すべく選択した.

2) 各種細胞の培養

リコンビナント ADAMTS-13 を発現させた HEK293 (HEK293/rADAMTS-13) 細胞と HEK293/Mock を type 1 コラーゲンをコートしたディッシュで 10% ウシ 胎児血清と 100 U/mL ペニシリンと 100 μg/mL スト レプトマアイシンを添加した DMEM (Invitrogen, CA, USA) で培養し、24 時間培養後、無血清の OPTI-MEM I (Invitrogen) で置換し 48 時間培養した。ヒト肝細胞 癌の細胞株である HepG2 は European Collection of Cell Culutures から購入し, 2 mM グルタミン酸, 1 %必須アミノ酸と 10% ウシ胎児血清を加えた MEM-R 培養液 (MP Biomedicals, CA) で培養した. 24 時間 培養後、無血清の MEM-R 培養液で置換し 48 時間培養 した。HEK293 細胞,HepG2 細胞の培養上清を回収し Centricon YM-100 (Millipore Co, MA, USA) を用い て 5 倍濃縮した. 正常肝細胞 (Cambrex Bio Science Walkersville, Inc. MD, USA) は type 1 コラーゲンを コートしたディッシュ上で、アスコルビン酸、ウシ血清 アルブミン,トランスフェリン, インスリンそして

hEGF を添加した肝細胞基本培地(Cambrex Bio Science Walkersville, Inc.)を用いて培養した. 非腫瘍性の肝細胞を SV40 導入により不死化した細胞株である tPH5CH¹⁵⁾は type 1 コラーゲンをコートしたディッシュ上で, 10% ウシ胎児血清と 100 U/mL ペニシリンと 100 µg/mL ストレプトマイシンを添加した RPMI-1640 培養液(Sigma-Aldrich, MO, USA)で培養し、ヒト肝臓類洞毛細血管内皮細胞(Applied Cell Biology Research Institute, WA, USA)は 10% ウシ胎児血清を含む CS-C 培養液を用い type 1 コラーゲンをコートしたディッシュ上で培養した.

3) 各種細胞の免疫組織染色

HEK293/rADAMTS-13 と HEK293/Mock, 正常肝 細胞, tPH5CH と HepG2 細胞を type1 コラーゲンで コートしたカルチャースライド上で培養した. 0.1M PBS で洗浄後、細胞を4%パラホルムアルデヒドで1 時間固定し 0.01M PBS で洗浄した. 内因性ペルオキシ ダーゼブロッキングは 0.3%過酸化水素を含む 0.1%ア ジ化ナトリウム溶液で行った. 固定した細胞を 0.01M PBS で洗浄しウシ血清でブロッキンングした。 1次抗 体として、抗 ADAMTS-13 ペプチド B ポリクローナル 抗体, HepPar 1 抗体, そして non-immune IgG のい ずれかをもちい、4℃で一晩インキュベートした. マウ スモノクローナル HepPar 1 抗体(OCH1E5.2.10, 20 ug/ml, DAKO company, CA, USA) は良性悪性, 両 方の肝細胞に特異的に反応する抗体16,17)であり陽性コ ントロールとして使用した. HepPar 1 抗体との反応前 に、検体を 100 mmol/L クエン酸バッファー (pH6.0), 100℃で処理した. 抗 ADMTS-13 ペプチド B ポリクロー ナル抗体 (10 μg/ml) は前処理なしで使用した. mouse IgG1 (10 µg/ml, DAKO company) または rabbit immunoglobulin fraction (10 µg/ml, DAKO company)を陰性コントロールとして使用し、mouse IgG1 については HepPar 1 抗体使用時と同様に前処理 を行った。0.01M PBS で 3 回洗浄後 DAKO ENVISIO N™ System Labelled Polymer, HRP (DAKO company) を用い、室温で 30 分間反応させた。細胞は 0.01M PBS で 3 回洗浄後, DAB 発色を行い, Harris hematoxylin により核染色を行った.

4) 肝組織の免疫組織染色

正常肝組織ならびに肝硬変を伴う肝細胞癌組織について免疫組織染色を施行した.脱パラフィン処理後,3)で記したと同様の手順で,1次抗体として抗ADAMTS-13ペプチドBポリクローナル抗体,HepParl 抗体または rabbit immunoglobulin fraction

(陰性コントロール)を用い免疫組織染色を行った. 5)ウェスタンブロット法

HEK293/rADAMTS-13, HEK293/Mock ならびに HepG2 細胞の培養上清を回収し、Centricon YM-100を用いて5倍濃縮し、5%2-mercaptoethanolを含む 4×SDS sample buffer と混合、5-15%gradient gelを用い SDS 電気泳動を行った、電気泳動後、polyvinylidene difluoride membrane (Bio-Rad, CA, USA) に転写し5%スキムミルクでブロッキングした、その後メンブレンを抗 ADAMTS-13ペプチド Bポリクローナル抗体(10 µg/ml)でインキュベートした。TTBS 溶液で3回洗浄後、二次抗体として horseradishperoxidase-linked whole antibody (Amersham Biosciences, UK)を反応させた。その後 Western Lightening Chemiluminescence Reagent Plus (Perkin-Elmer) により発光させた。

6) RT-PCR 法と塩基配列決定法

正常肝細胞,tPH5CH, HepG2 またはヒト肝臓類洞毛 細 血 管 内 皮 細 胞 に つ い て そ れ ぞ れ TRIZOL (Invitrogen) を用いて処理し、クロロホルムで溶解した ペレットから total RNA を抽出しイソプロパノールで 沈降した. 各 RNA (1 µg) は 70℃で 5 分間処理後, ImProm-II[™] Reverse Transcriptase (Promega Corporation, WI, USA) を使用し、特異的オリゴヌク レオチドプライマーを用い 42℃で 60 分間逆転写反応 を行った. ADAMTS-13 の exon 1 に対応する cDNA の増幅に用いたプライマーはセンスプライマーとして RT-3 (5'-CTGTGTGGCCGGAATCCTT-3'), アンチセ ンスプライマーとして RT-4 (5'-TTGGAGCCACAGGC CG-3') を用いた、PCR は TaKaRa LA Taq (Takara Shuzo) を用い、 5 分間 96℃で反応後、脱重合に 96℃ で1分、プライマーの重合に52℃で1分、伸長反応に 72℃で1分の条件を用い、35 サイクルの反応を行った。 PCR 産物を2%アガロースゲル上で電気泳動し、エチ ジウムブロマイド液で染色した. 正常肝細胞, tPH5CH, HepG2 の PCR 産物は各々アガロースゲルよりバンド を切り出し GENE CLEAN II kit (Bio 101) を用い DNA を抽出、精製した. 塩基配列は ABI PRISM Dye Terminator Cycle Sequencing Ready Reaction kit (Perkin-Elmer) を用い, Model 310 DNA autosequencer (Applied Biosystems) で決定した.

実験結果

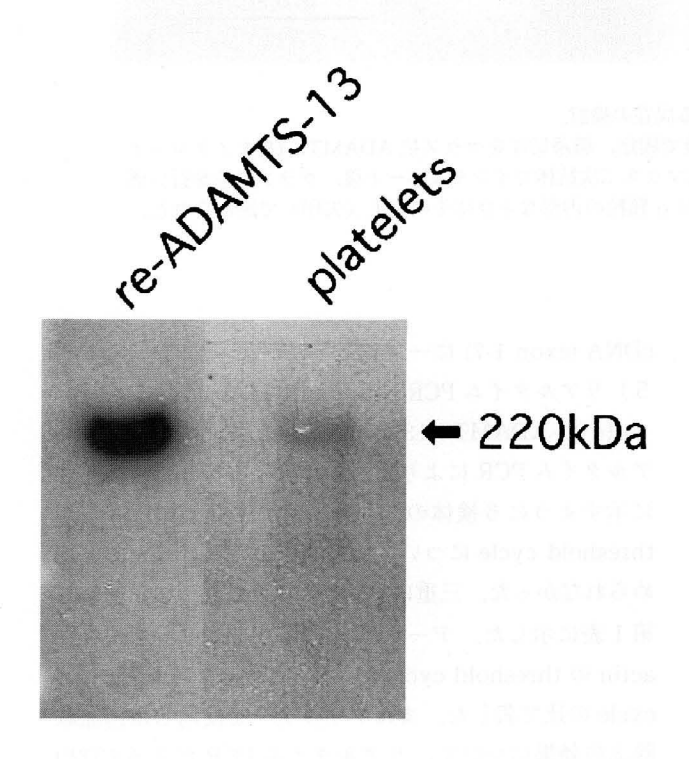
1. 血小板における VWF 切断酵素(ADAMTS-13) の発現と局在

1) ウェスタンブロット法

ADAMTS-13の exon 25 に相当する部位に対するモノクローナル抗体を用いたウェスタンブロットの結果,リコンビナント ADAMTS-13を含む培養上清に認められたバンドに一致する約220kDaのバンドを血小板で確認した(第1図). これにより血小板でのADAMTS-13タンパクの発現が示された.

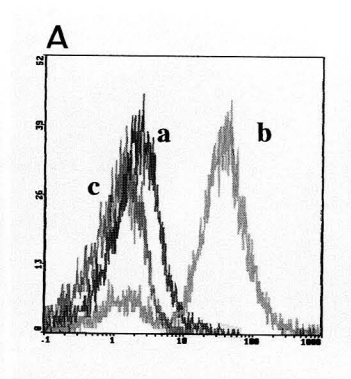
2) フローサイトメトリーによる解析

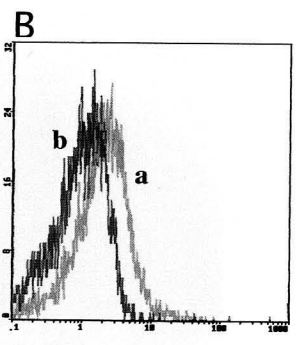
第2図Aで示すように、permeabilization 処理を行った血小板では、陽性コントロールとして用いた抗 β -actin 抗体に対する反応よりは弱いものの、抗 ADAMTS-13 モノクローナル抗体に対し反応性を認めた、第2図Bは permeabilization 処理を行った血小板



第1図. ウェスタンブロットによる血小板における ADAMTS-13 発現の証明. 約2×10⁷の洗浄血小板とリコンビナント ADAMTS-13 を含む培養上清で,実験方法に明記した方法でウェスタンブロットを施行した. レーン左;リコンビナント ADAMTS-13 を含む培養上清,レーン右;血小板.

Suzuki M et al: Biochem Biophys Res Comm 313: 212-216, 2004の Fig. 1.を許可を得て転載.





第2図. フローサイトメトリーによる ADAMTS-13 発現 の解析

パネル A;血小板は 0.1%NP40 による permeabilization 処理後,マウス anti-ADAMTS-13 モノクローナル 抗体 (a),マウス抗 β -actin 抗体 (b,陽性コントロール)または mouse IgG1 (c,陰性コントロール)とインキュベートした.パネル B;permeabilization 処理後血小板と permeabilization 処理後の血小板(a)と permeabilization 処理後の血小板(a)と permeabilization 処理なしの血小板(b)を用いパネル A と同様の実験を行い比較した.サンプルはすべて 4%パラホルムアルデヒドで固定後, 2次抗体として FITC-conjugated rabbit F (ab') 2 fragments of anti-mouse IgG antibodyを使用した.

Suzuki M et al: Biochem Biophys Res Comm 313: 212-216, 2004 の Fig. 2.を許可を得て転載.

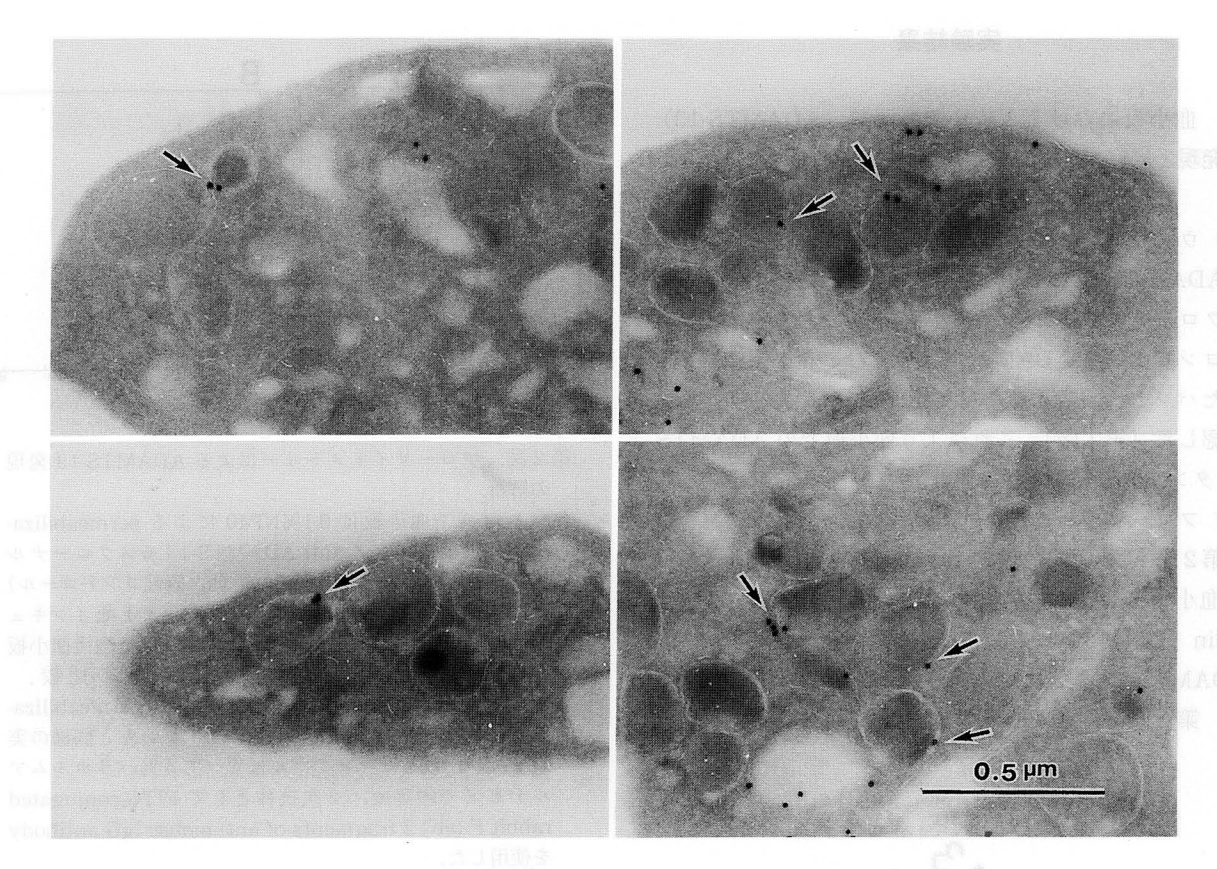
と permeabilization 処理なしの血小板での抗ADAMTS-13 モノクローナル抗体に対する反応性の違いを示しており、ADAMTS-13 が血小板の内部に存在することを示唆している. permeabilization 処理後の血小板ならびに permeabilization 処理なしの血小板のどちらでも白血球に特徴的な CD45 の発現は認めず、明らかな白血球の混入の可能性は除外された.

3) 免疫電顕による ADAMTS-13 の血小板における局 在の検討

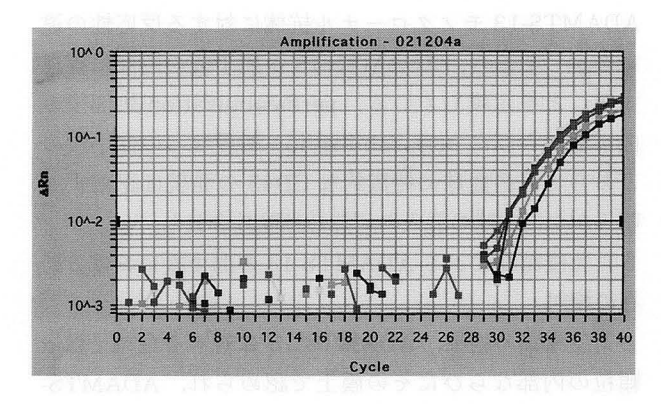
免疫電顕の結果、ADAMTS-13 に対する金粒子は α 顆粒の内部ならびにその膜上で認められ、ADAMTS-13 が血小板の α 顆粒内に存在することが確認された (第3図).

4) RT-PCR による解析と塩基配列の決定

PRP より抽出された血小板 RNA は RT-PCR により 増幅された. アガロースゲルより増幅されたバンドを切り出し DNA を抽出, 精製した. 予想していた 660 bpの cDNA 断片が得られ direct sequencing analysis により決定された塩基配列は, BLAST (Basic local alignment search tool) による検索の結果, ADAMTS-13



第3図. 免疫電顕による ADAMTS-13 の血小板における局在の検討. ヒト正常洗浄血小板を4%パラホルムアルデヒド溶液で固定, 超薄切片をマウス抗 ADAMTS-13 モノクローナル抗体でインキュベートし, さらに金粒子標識ヤギ抗マウス二次抗体でインキュベート後, ウラン染色を行い透過型電顕で観察した. ADAMTS-13 に対する金粒子は α 顆粒の内部ならびにその膜上(矢印)で認められた. bar=0.5 μm



第4図. リアルタイム PCR による血小板 ADAMTS-13 mRNA の発現量の評価(代表例の提示). ADAMTS-13 に特異的なプライマーと TaqMan Probe を用いて 6 検体の mRNA について各々PCR を施行した. 縦軸が relative normalized fluorescence change (△Rn), 横軸が PCR cycle number である. threshold fluorescence intensity (0.01, 水平線)を決定した後に threshold cycle が決まる. 目的とする遺伝子と内部コントロールの threshold cycle を測定した.

Suzuki M et al: Biochem Biophys Res Comm 313: 212-216, 2004の Fig. 3.を許可を得て転載.

cDNA (exon 1-7) に一致した.

5) リアルタイム PCR による mRNA の定量

血小板 ADAMTS-13 の mRNA の発現についてはリアルタイム PCR により定量的に評価を行った。第4図に示すように6 検体の血小板について評価を行ったが threshold cycle について検体間での差異はほとんど認められなかった。三重に実験を行った結果その平均値を第1表に示した。データは内部コントロールである β -actin の threshold cycle と ADAMTS-13 の threshold cycle の比で表した。またフィルターを使用した白血球除去の効果について,リアルタイム PCR による CD20 増幅の欠如により確認を行った(第2表).

第1表 β-actin と ADAMTS-13 の threshold cycle の比

	Ct of β-actin	Ct of ADAMTS-13	β-actin/ADAMTS-13
PRP 1	15.99 ± 0.24	28.52 ± 0.36	0.563 ± 0.007
PRP 2	16.06 ± 0.11	28.16 ± 0.26	0.570 ± 0.005
PRP 3	16.47 ± 0.03	29.08 ± 0.25	0.567 ± 0.005
PRP 4	$16.95\!\pm\!0.06$	29.62 ± 0.13	0.572 ± 0.003
PRP 5	16.79 ± 0.34	28.83 ± 0.19	0.583 ± 0.004
PRP 6	17.13 ± 0.04	30.47 ± 0.36	$0.563\!\pm\!0.007$

データは内部コントロールのβ-actin と ADAMTS-13 の threshold cycle (Ct) の比で示している. 数値は平均±SD で表した.PRP1~6:6人の PRP から得た血小板 mRNA を示す.

Suzuki M et al: Biochem Biophys Res Comm 313: 212-216, 2004 の Table 1 を許可を得て転載.

第2表 リアルタイム PCR による血小板 ADAMTS-13 mRNA と CD20 mRNA の定量.

Ct of ADAMTS-13	Ct of CD20
38.75/38.71	40.00/39.49
36.62/36.59	40.00/40.00
32.47/34.10	26.43/27.29
35.91/35.25	27.30/27.53
29.34/27.52	26.46/26.27
34.43/34.57	26.36/26.22
	38.75/38.71 36.62/36.59 32.47/34.10 35.91/35.25 29.34/27.52

2名(1, 2)の mRNA を用いて ADAMTS-13 と CD20 についてそれぞれリアルタイム PCR を施行した。Platelet-1 と 2 は白血球除去後の血小板 cDNA である。 Lym-1 と 2 は Lympho-Prep (AXIS-SHIELD ProC AS, Oslo, Norway) により得られたリンパ球由来の cDNA である。 Buffy-1 と 2 は buffy coat 由来の cDNA である。

Suzuki M et al: Biochem Biophys Res Comm 313: 212-216, 2004 の Table 2 を許可を得て転載.

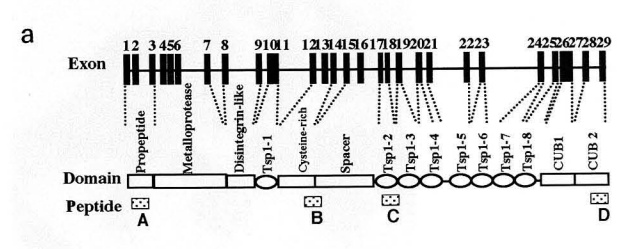
2. 肝臓における ADAMTS-13 の産生部位

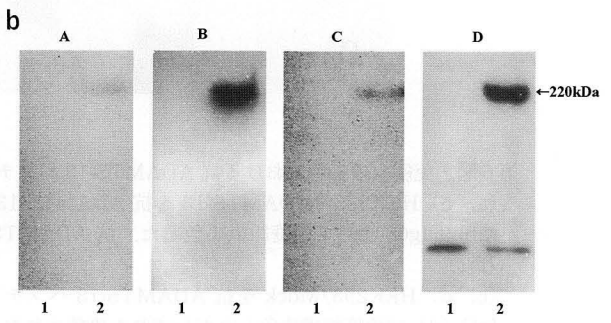
1) 抗 ADAMTS-13 ポリクローナル抗体の評価

1次抗体として4種類のポリクローナル抗体を用いてウェスタンブロットを行った結果、抗 ADAMTS-13 ペプチド B または D ポリクローナル抗体はリコンビナント ADAMTS-13 を含む培養上清に強い反応性を示した(第5図 a,b). ウェスタンブロットで特異性が確認された抗 ADAMTS-13 ペプチド B ポリクローナル抗体を使って、HEK293/rADAMTS-13 の免疫組織染色を行ったところ、細胞質の染色が確認された(第6図).

2) 肝細胞における免疫組織染色

正常肝細胞, tPH5CH 細胞, さらに HepG2 細胞は抗 ADAMTS-13 ペプチド B ポリクローナル抗体に対して びまん性に,強い顆粒状の染色パターンを示した(第7



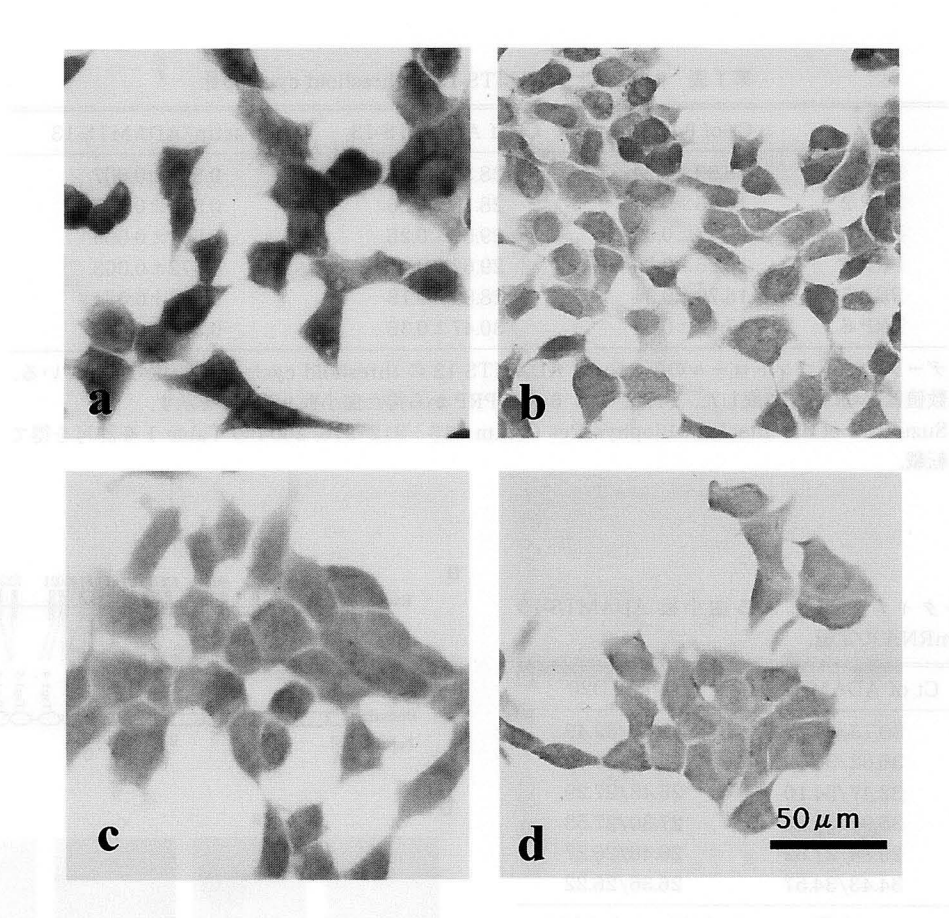


第5図. 抗 ADAMTS-13 ポリクローナル抗体の評価 a. ADAMTS-13 のドメイン構造と抗ペプチドポリクローナル抗体の免疫部位.

ADAMTS-13 タンパクは propeptide, metalloprotease domain, disintegrin, cys-rich, そして spacer domains, 2つの CUB domain, さらに8つの Tsp type1 repeats (1-8) から構成されている。4箇所のペプチドに対し各々抗ペプチドポリクローナル抗体を作製した。部位は以下のとおりである:A, propeptide domain (exon 2)の内部;B, cys-rich domain (exon 12)の内部;C, Tsp1-2 (exon 18)の内部,D, C-terminal (exon 29) 部。

b. ウェスタンブロットにおける抗ペプチドポリクローナル抗体の有用性.

レーン 1 , HEK293/Mock の培養上清;レーン 2 , HEK293/rADAMTS-13 の培養上清.1 次抗体として 4 種類の抗ペプチドポリクローナル抗体を用いてウェスタンブロットを行った.(A),抗 ADAMTS-13 ペプチド Aポリクローナル抗体(20 μ g/ml);(B),抗 ADAMTS-13 ペプチド Bポリクローナル抗体(10μ g/ml);(C),抗 ADAMTS-13 ペプチド C ポリクローナル抗体(20μ g/ml);(D),抗 ADAMTS-13 ペプチド D ポリクローナル抗体(10μ g/ml)).



第6図. 免疫組織染色における抗 ADAMTS-13 ペプチド B ポリクローナル抗体の有用性.

(a, b) HEK293/rADAMTS-13 を抗 ADAMTS-13 ペプチド B ポリクローナル抗体 (a) または non-immune rabbit IgG (b) で免疫組織染色した. 抗 ADAMTS-13 ペプチド B ポリクローナル抗体により細胞質が染色された.

(c, d) HEK293/Mock を抗 ADAMTS-13 ペプチド B ポリクローナル抗体 (c) または non-immune rabbit IgG (d) で免疫組織染色したがいずれも染色されなかった。bar=50 μm

図 a, d, g). 一方対照とした抗体では染色されなかった (c, f, i). HepParl 抗体 (b, e, h) を陽性コントロールとして使用した.

3) 肝組織における免疫組織染色

正常肝組織は抗 ADAMTS-13ペプチド Bポリクローナル抗体に対し、びまん性に、強い顆粒状の染色性を示した(第8図a,b).特に中心静脈と門脈周囲の肝細胞が強く染まっており、血管内皮細胞や Kupffer 細胞は染まらなかった。肝硬変、肝細胞癌の組織では、再生肝細胞ならびに肝癌細胞の両者とも免疫染色された(第8図d,e,g,h).

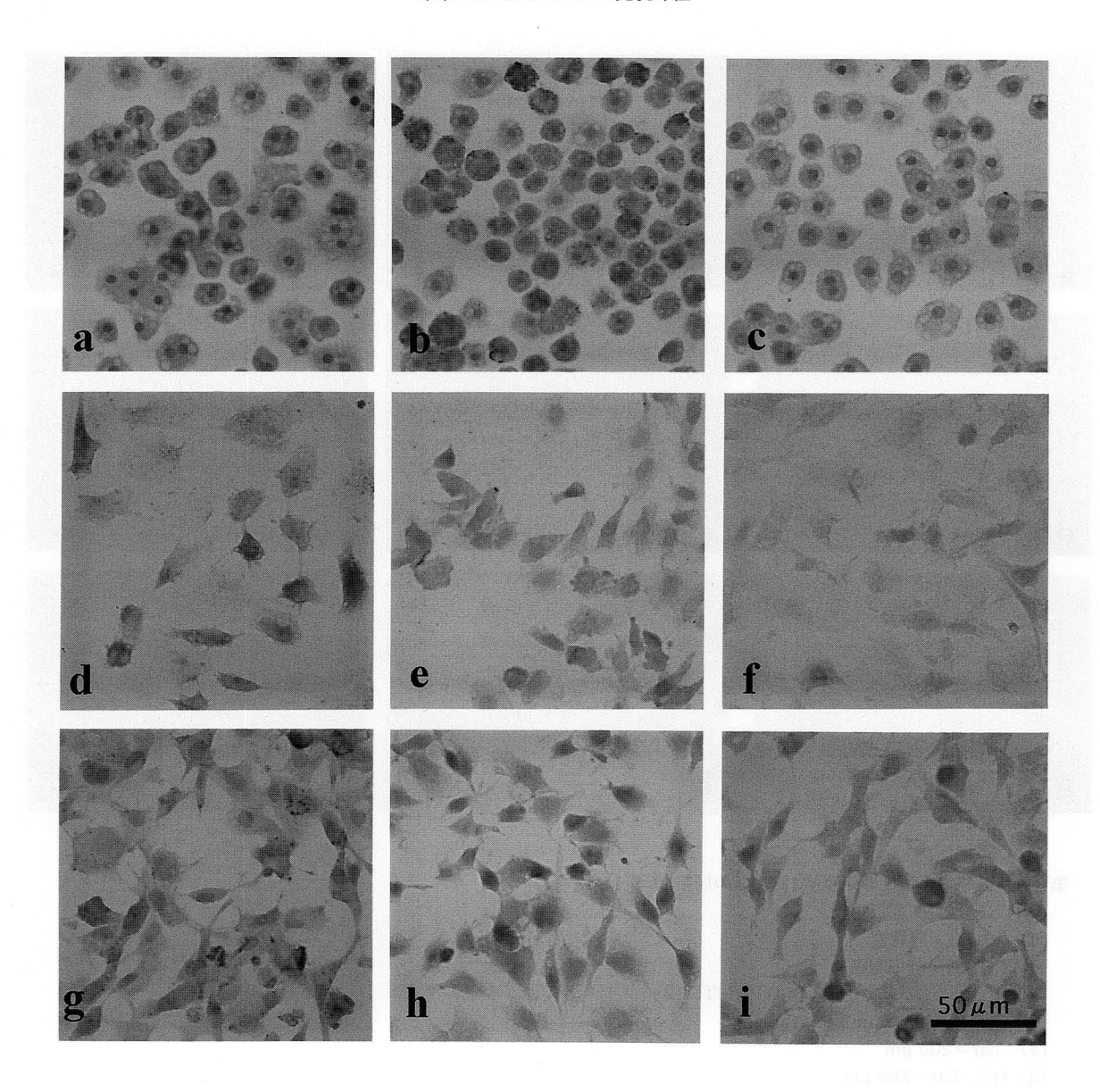
4) HepG2 の培養上清を用いたウェスタンブロット法

Cystein-rich domain に対する抗 ADAMTS-13 ペプチド B ポリクローナル抗体を 1 次抗体として HepG2 細胞の培養上清でウェスタンブロットを行った結果,リコ

ンビナント ADAMTS-13 を含む培養上清に認められた バンドに一致する約 220 kDa のバンドを確認した(第 9 図). 対照とした HEK293/Mock の培養上清ではバンドは検出されなかった. この所見より HepG2 細胞で ADAMTS-13 が 発 現 し て い る こ と が 判 明 し, ADAMTS-13 タンパクが HepG2 細胞で合成され,培養上清中に分泌されている可能性が示唆された.

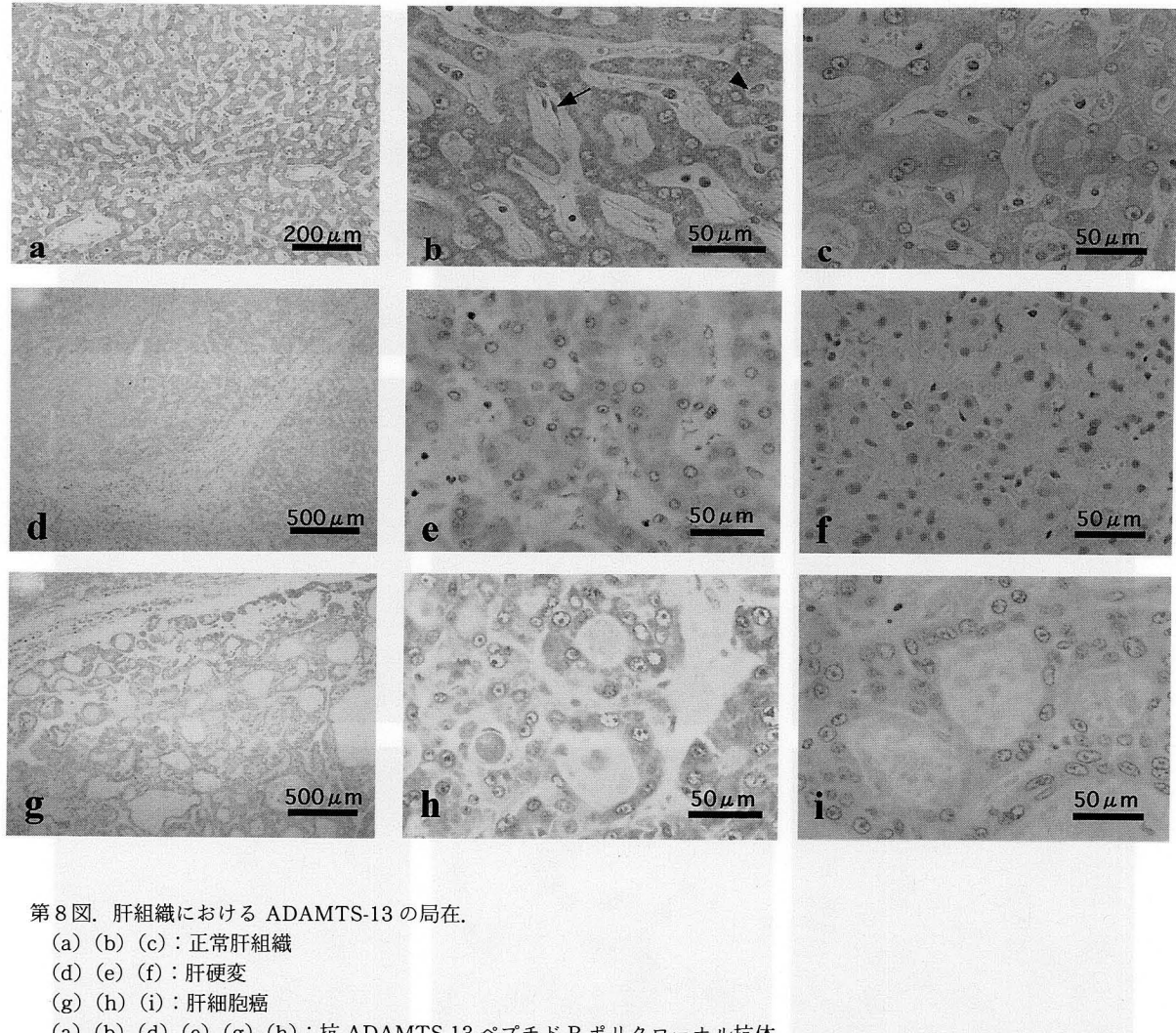
5)肝細胞における mRNA の発現

RT-PCR の結果, 正常肝細胞, tPH5CH そして HepG2 において ADAMTS-13 の exon 1 に相当する 100 bp の cDNA フラグメントが増幅されたが, ヒト肝 臓類洞毛細血管内皮細胞では増幅は認めなかった (第10 図). アガロースゲルより増幅されたバンドを切り出し DNA を抽出, 精製した. 得られた cDNA 断片について direct sequencing analysis により塩基配列を決



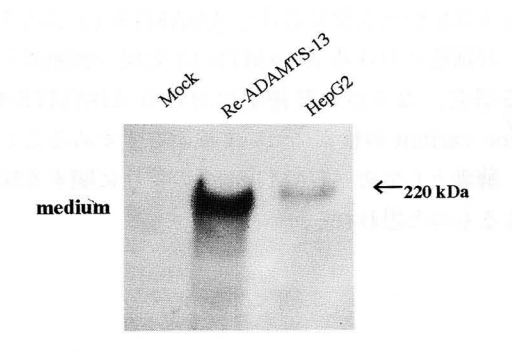
第7図. 種々の肝細胞における ADAMTS-13 タンパクの発現.

正常肝細胞:(a), (b), (c);tPH5CH 細胞:(d), (e), (f);HepG2 細胞(g), (h), (i). (a), (d), (g):各々の細胞について抗 ADAMTS-13 ペプチド B ポリクローナル抗体を用いて免疫組織染色を行ったところびまん性に強く,顆粒状の染色パターンを示した。(b), (e), (h);各々の細胞について HepParl 抗体を用いて免疫組織染色を行ったところ顆粒状に細胞質が染色された。(c), (f), (i) は non-immune rabbit IgG を用いた陰性コントロールである。(a)-(i) bar=50 μ m



- (a) (b) (d) (e) (g) (h): 抗 ADAMTS-13 ペプチド B ポリクローナル抗体
- (c) (f) (i): non immune rabbit IgG
- (a): bar=200 μm
- (d) (g): bar=500 μm
- (b) (c) (e) (f) (h) (i) : bar=50 μm

正常肝組織においてびまん性の強い顆粒状の染色性を示した。特に中心静脈周囲の肝細胞でより強い染色性が認めら れた (a, b). 血管内皮細胞 (矢印) や Kupffer cell (矢頭) では ADAMTS-13 に対する反応はみられなかった (b). また陰性コントロールでは染色を認めなかった (c). また肝硬変、肝細胞癌組織において再生肝細胞 (e)、肝癌細胞 (h) の両者が ADAMTS-13 に対してびまん性で強い顆粒状の染色パターンを呈した.一方 non-immune rabbit IgG では染色はみられなかった (f, i).



第9図. HepG2 の培養上清を用いたウェスタンブロット. 抗 ADAMTS-13 ペプチド B ポリクローナル抗体を 1 次 抗体として HepG2 細胞の培養上清でウェスタンブロットを行った. レーン左, HEK293/Mock の培養上清; レーン中央, HEK293/rADAMTS-13 の培養上清; レーン右, HepG2 細胞の培養上清.



第 10 図.種々の肝細胞における ADAMTS-13 mRNA の 発現.

正常肝細胞(nHep)、tPH5CH また HepG2 細胞株から 各々抽出した RNA を用い RT-PCR を施行したところ、リコンビナント ADAMTS-13 の plasmid cDNA でみられたシグナルと同じシグナルが検出された. しかしヒト 肝臓類洞毛細血管内皮細胞(LSE)ではシグナルは検出されなかった.

定した. BLAST (Basic local alignment search tool) による検索の結果, ADAMTS-13 cDNA (exon1) であることを確認した.

考 察

1. 血小板における VWF 切断酵素(ADAMTS-13) の発現および血小板における局在

今回の検討により我々は初めて血小板でのADAMTS-13の発現を証明した。我々の実験結果によりADAMTS-13タンパクが血小板表面ではなく、血小板内部に存在すること、しかもVWFが貯蔵されている a 顆粒内に存在していることが明らかとなった。また、ADAMTS-13 mRNAの定量的評価法としてリアルタイム PCR の有用性を示した。ADAMTS-13 mRNAに

ついて 6名の健常者間でほとんど定量的差異はみられなかった。 これらの結果より 血小板には定常量の ADAMTS-13 mRNA とタンパクが存在しており, 血小板による血漿中の ADAMTS-13 のエンドサイトーシスの結果ではないことが確認された。

今回の実験では RT-PCR に際し ADAMTS-13 の exon 1 から7に相当する cDNA の増幅を行った. さらにリアルタイム PCR では ADAMTS-13 の exon15-16に位置する TaqMan Probe を使用した. これによりゲノム DNA の増幅の可能性は除外され, 少なくとも exon 1 から 16 に相当する ADAMTS-13 mRNA が血小板に発現していることが明らかになった. Alternative splicing は ADAMTS 遺伝子ファミリーに共通する特徴であり, ADAMTS-13 についても肝臓, 前立腺, 脳で splice variant の報告がある。 血小板における splice variant についても, 今後その検討が必要と考えている.

VWF の 15~25%は血小板のα顆粒内に貯蔵されて おりトロンビンまたは ADP 刺激により血小板から血漿 中に放出される. 今回免疫電顕による検討から ADAMTS-13 が α 顆粒内に存在していることが明らか となり、その意義として血小板の ADAMTS-13 が VWF のサイズを制御している可能性が考えられる。 血 小板由来の VWF の性状は局所組織における血小板血 栓形成において一つの制御因子となりうると考えられ, 今後血小板の ADAMTS-13 の活性評価法を確立してい くことは、易血栓性の予測という点で臨床的意義を有す るものと思われる. また今後 ADAMTS-13 に対する自 己抗体が TTP 患者の血小板に結合するか、すなわち TTP の診断に血小板での ADAMTS-13 に対する自己 抗体が有用となりうるかについて検討が必要である. 血 小板における ADAMTS-13 の存在は TTP のみならず 血小板血栓形成の病態において重要な役割を担うものと 思われる.

2. 肝臓における ADAMTS-13 の産生部位に関する検 討

ADAMTS-13 は現在まで mRNA の解析により全長 cDNA が肝臓でのみ特異的に発現したという報告 $^{60.80.90}$ にもとづき,血漿 ADAMTS-13 は肝臓由来であろうと されていたが,タンパクレベルでの発現ならびに肝臓の どの細胞が ADAMTS-13 を産生するかについての実験 的証明はされていない.今回我々はヒトの肝臓において 主に肝細胞で ADAMTS-13 が発現していることを新規 に証明した.抗 ADAMTS-13 ペプチド B ポリクローナ

肝硬変患者血漿での ADAMTS-13 酵素活性は健常血漿に比し低下しており、生体肝移植により血漿 ADAMTS-13 の酵素活性が変化したという臨床報告¹²⁾ の中で、血漿 ADAMTS-13 の酵素活性は肝臓で合成される血清アルブミンや総コレステロール価と相関すると報告されている。この知見は ADAMTS-13 の産生部位が肝細胞であることを示唆する我々の実験結果に矛盾しないものである。しかしながら、肝硬変患者の多くで血漿中に ADAMTS-13 のインヒビターが検出されたという口述発表もあり、肝硬変患者の血漿における ADAMTS-13 の活性低下は肝細胞の脱落のみで引き起こされるものではないと考えられる。

肝由来の血漿タンパクは肝細胞の粗面小胞体上のポリ ソームで合成される。肝細胞は肝臓の60%を占め、多 角形をしている. 肝細胞には3つの表面があり、1つめ は類洞と Disse 腔に面し、2つめは毛細胆管に面し、3 つめは隣接する肝細胞に接している. 我々の実験結果か らは、肝細胞と類洞の内皮細胞の間にある Disse 腔では ADAMTS-13 の発現はみられなかった. また Rappaport による肝臓の zonality では zone 1 は流入 システム(門脈)に隣接,zone 3 は流出システム(肝 静脈) に隣接し zone 2 はその間にある. すなわち zone 1, 2, 3は酸素と栄養内容の点では第1, 第2, 第3 等級の血液で供給されているといえるが、免疫組織学的 検討では ADAMTS-13 の発現は zone 2 に比し zone 1, 3では強いという傾向は示したものの ADAMTS-13 の 発現と zonality の相関は明らかではなく、ADAMTS-13 が流入システム,流出システム両方の近傍の肝細胞 で合成されていることが示唆された. さらに、肝硬変を 伴う肝細胞癌組織,ならびに種々の肝細胞における検討 により, 良性, 悪性両方の肝細胞で明らかな差異なく ADAMTS-13 が発現されていることが明らかとなった.

今後肝細胞と血漿における ADAMTS-13 の活性の相関,肝細胞における ADAMTS-13 発現の制御因子に関する研究,ならびに肝細胞における ADAMTS-13 の splice variant の検索について検討をすすめることにより,酵素としての ADAMTS-13 の特性に関する知見が深まるものと思われる.

総 括

血栓形成に重要な役割を担う VWF の機能を制御する VWF 切断酵素(ADAMTS-13)の血小板での発現と局在に関する検討,ならびに肝臓での ADAMTS-13の産生部位に関して検討を行い,以下の結果を得た.

- 1. ウェスタンブロットを用い血小板における ADAMTS-13 タンパクの発現を確認した.
- 2. フローサイトメトリーにより、permeabilization 処理後または permeabilization 処理なしの血小板の反応性を比較することにより血小板の内部に ADAMTS-13 が存在することを確認し、抗 ADAMTS-13 モノクローナル抗体を用いた血小板 凍結超薄切片による免疫電顕法でα顆粒内の局在を示した.
- 3. RT-PCR により血小板での ADAMTS-13mRNA の発現を示した. 得られた cDNA の塩基配列が, ADAMTS-13 cDNA (exon1-7) であることを確認した.
- 4. 血漿 ADAMTS-13 の由来に関する検討の一環として肝臓に着目し、正常肝細胞ならびに肝細胞癌の細胞株において免疫組織染色を行い、細胞質におけるADAMTS-13 の発現を確認した。
- 5. 免疫組織染色の結果,肝組織において肝細胞で主に ADAMTS-13 の発現を認めた.
- 6. HepG2 細胞の培養上清を用いたウェスタンブロットにて ADAMTS-13 タンパクの発現を確認し、 HepG2 が ADAMTS-13 を合成し培養上清に分泌する可能性が示唆された。
- 7. RT-PCR により正常肝細胞ならびに肝細胞癌の細胞株で ADAMTS-13 mRNA の発現を認めた.

以上の結果より、血小板 ADAMTS-13 が血栓止血機構において局所で VWF を制御している可能性が示唆された。今後、血小板の ADAMTS-13 の活性評価法を確立していくことは、易血栓性の予測という点で臨床的意義を有するものと思われる。また血漿 ADAMTS-13

の起源として肝細胞での産生が示唆され、今後肝機能とADAMTS-13の相関、各種疾患におけるADAMTS-13の動態等を検索することにより、血栓形成に関与するADAMTS-13の特性にさらなる知見が加わることと考えられる.

謝辞

本稿を終えるにあたり、ご指導、ご校閲を賜りました 慶應義塾大学医学部内科学教室池田康夫教授に深甚なる 謝意を表します。また本研究に際し、直接ご指導、ご校 閲をいただきました慶應義塾大学医学部内科学教室村田 満先生、同病理学教室岡田保典教授に深謝いたします。 また tPH5CH 細胞をご提供くださいました同病理学教 室坂元亨宇教授、免疫電顕をご指導頂いた東京都臨床医 学総合研究所鈴木英紀先生に感謝の意を表します。

なお本研究は慶應義塾大学リサーチパーク内における (株)第一製薬との共同研究の一環して行われた.

本論文は, Suzuki M, Murata M, Matsubara Y, Uchida T, Ishihara H, Shibano T, Ashida S, Soejima K, Okada Y, Ikeda Y: Detection of von Willebrand factor-cleaving protease (ADAMTS-13) in human platelets. Biochem Biophys Res Comm 313: 212-216, 2004. の一部を含む.

文 献

- Furlan M, Robles R, Lammle B: Partial purification and characterization of a protease from human plasma cleaving von Willebrand factor to fragments produced by *in vivo* proteolysis. Blood 87: 4223-4234, 1996
- Tsai HM: Physiologic cleavage of von Willebrand factor by a plasma protease is dependent on its conformation and requires calcium ion. Blood 87: 4235– 4244, 1996
- 3) Tsai HM, Lian ECY: Antibodies to von Willebrand factor-cleaving protease in acute thrombotic thrombocytopenic purpura. N Engl J Med 339: 1585-1594, 1998.
- 4) Furlan M, Robles R, Galbusera M, Remuzzi G, Kyrle PA, Brenner B, Krause M, Scharrer I, Aumann V, Mittler U, Solenthaler M, Lammle B: Von Willebrand factor cleaving protease in thrombotic thrombocytopenic purpura and the hemolytic-uremic syndrome. N Engl J Med 339: 1578-1584, 1998
- 5) Furlan M, Robles R, Solenthaler M, Wassmer M, Sandoz P, Lammle B: Deficient Activity of von Willebrand Factor-cleaving protease in chronic re-

- lapsing thrombotic thrombocytopenic purpura, Blood 89: 3097-3103, 1997
- 6) Zheng X, Chung D, Takayama TK, Majerus EM, Sadler E, Fujikawa K: Structure of von Willebrand factor-cleaving protease (ADAMTS13), a metalloprotease involved in thrombotic thrombocytopenic purpura. J Biol Chem 276: 41059-41063, 2001
- 7) Fujikawa K, Suzuki H, McMullen B, Chung D: Puri fication of human von Willebrand factor-cleaving protease and its identification as a new member of the metalloproteinase family. Blood 98: 1662-1666, 2001
- 8) Levy GG, Nichols WC, Lian EC, Foroud T, McClintick JN, McGee BM, Yang AY, Siemieniak DR, Stark KR, Gruppo R, Sarode R, Shurin SB, Chandrasekaran V, Stabler SP, Sabio H, Bouhassira EE, Upshaw JD, Ginsburg JD, Tsai HM: Mutations in a member of the ADAMTS gene family cause thrombotic thrombocytopenic purpura, Nature 413: 488-494, 2001
- 9) Soejima K, Mimura N, Hirashima M, Maeda H, Hamamoto T, Nakagaki T, Nozaki C: A novel human metalloprotease synthesized in the liver and secreted into the blood: possibly, the von Willebrand factor-cleaving protease? J Biochem (Tokyo) 130: 475-480, 2001
- 10) Plaimauer B, Zimmermann K, Volkel D, Antoine G, Kerschbaumer R, Jenab P, Furlan M, Gerritsen H, Lammle B, Schwartz HP, Scheiflinger F: Cloning, expression, and functional characterization of the von Willebrand factor-cleaving protease (ADAMTS13). Blood 100: 3626-3632, 2002.
- 11) Suzuki M, Murata M, Matsubara Y, Uchida T, Ishihara H, Shibano T, Ashida S, Soejima K, Okada Y, Ikeda Y: Detection of von Willebrand factor-cleaving protease (ADAMTS-13) in human platelets. Biochem Biophys Res Comm 313: 212-216, 2004.
- 12) Lee TP, Bouhassira EE, Lyubsky S, Tsai HM: ADA MTS13, the Von Willebrand factor cleaving Metalloprotease, is expressed in the perisinusoidal cells of the liver. Blood 100: 497 abstract, 2002
- 13) Matsumoto M, Chisuwa H, Nakazawa Y, Ikegami T, Hashikura Y, Kawasaki S, Yagi H, Ishizashi H, Matsui T, Titani K, Fujimura Y: Liver transplantation rescues a deficient state of von Willebrand factor-cleaving protease activity in patients with liver cirrhosis due to congenital biliary atresia. Blood 96: 636 abstract, 2000
- 14) Uchida T, Wada H, Mizutani M, Iwashita M, Ishihara H, Shibano T, Suzuki M, Matsubara Y, Soejima K, Matsumoto M, Fujimura Y, Ikeda Y, Murata M: Ide ntification of novel mutations in ADAMTS13 in an adult patient with congenital thrombotic thrombocytopenic purpura. Blood 104: 2081-2083, 2004.
- 15) Yamamoto Y, Sakamoto M, Fujii G, Tsuji H, Kanetaka K, Asaka M, Hirohashi S: Overexpression

- of ORPHAN G-Protein-Coupled Receptor, Gpr49, in Human Hepatocellular Carcinomas with β -Catenin Mutations. Hepatology 37: 528–533, 2003
- 16) Minervini MI, Demetris AJ, Lee RG, Carr BI, Madariaga J, Nalesnik MA: Utilization of hepatocyte-specific antibody in the immunocytochemical evaluation of liver tumors. Mod Pathol10: 686-692, 1997
- 17) Siddiqui MT, Saboorian MH, Gokaslan ST, Ashfaq R: Diagnostic Utility of the HepPar 1 antibody to differentiate hepatocellular carcinoma from metasta-

- tic carcinoma in fine-needle aspiration samples. Cancer 96: 49–52, 2001.
- 18) Bouma ME, Rogier E, Verthier N, Labarre C, Feldmann G: Further cellular investigation of the human hepatoblastoma derived cell line HepG2: m orphology and immunocytochemical studies of hepatic-secreted proteins. In Vitro Cellular & Developmental Biology 25: 267-275, 1989
- 19) Fair DS and Bahnak BR: Human hepatoma cells secrete single cain factor X, Prothrombin and Antithrombin III. Blood 64: 194-204, 1984